

# HTC 3500 S/O PC.330

## CONO IN REFRATTARIO

### HTC 3500 S/O PC - MV Ø330

Potenzialità massima [kW]		3500
Pressione combustibile alla potenzialità massima (misurata sulla presa P <sub>1,F</sub> - pag. 2) [mbar]	Gas naturale (8250 kcal/Nm <sup>3</sup> )	35
	GPL (22500 kcal/Nm <sup>3</sup> )	
Pressione aria alla potenzialità massima (misurata sulla presa P <sub>1,A</sub> - pag. 2) [mbar]	Gas naturale (8250 kcal/Nm <sup>3</sup> )	35
	GPL (22500 kcal/Nm <sup>3</sup> )	
Lunghezza fiamma alla massima potenzialità (misurata dall'estremità del corpo bruciatore) [mm]	Gas naturale (8250 kcal/Nm <sup>3</sup> )	3100
	GPL (22500 kcal/Nm <sup>3</sup> )	3400
Velocità di fiamma alla potenza massima (calcolata al 20% di eccesso d'aria) [m/s]	Media velocità	70
Rilevazione fiamma	Elettrodo a ionizzazione o cellula UV	
Combustibili utilizzati	Gas naturale, GPL	

Tutte le informazioni sono basate su test di laboratorio in camera a pressione neutra. Differenti condizioni e dimensioni di camera possono incidere sui dati.

Tutte le informazioni sono basate su progettazione di un combustore standard.

Modifiche al combustore altereranno la performance e le pressioni.

Tutti i dati sono basati su valori calorici lordi.

Tutte le informazioni sono basate su prove relative a impiantistica di tubazioni d'aria e di gas generalmente accettabili.

I dati riportati su questo foglio tecnico possono subire variazioni senza preavviso.

I dati espressi sono puramente indicativi e non sono vincolanti.

ELCO si riserva il diritto di modificare la costruzione e/o la configurazione dei propri prodotti in ogni momento.

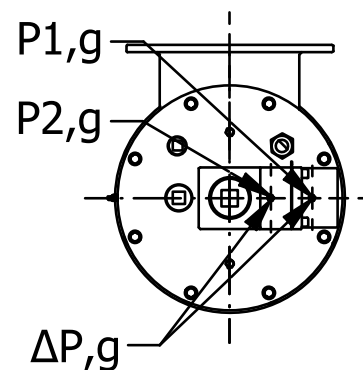
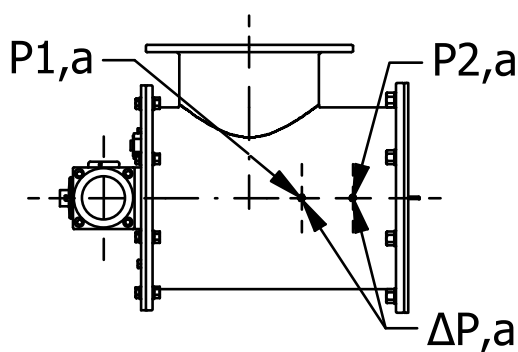
## CARATTERISTICHE DEL BRUCIATORE

Combustibile 1: CH<sub>4</sub>  
Diafr. combustibile 1: Ø55

Combustibile 2: LPG  
Diafr. combustibile 2: Ø42

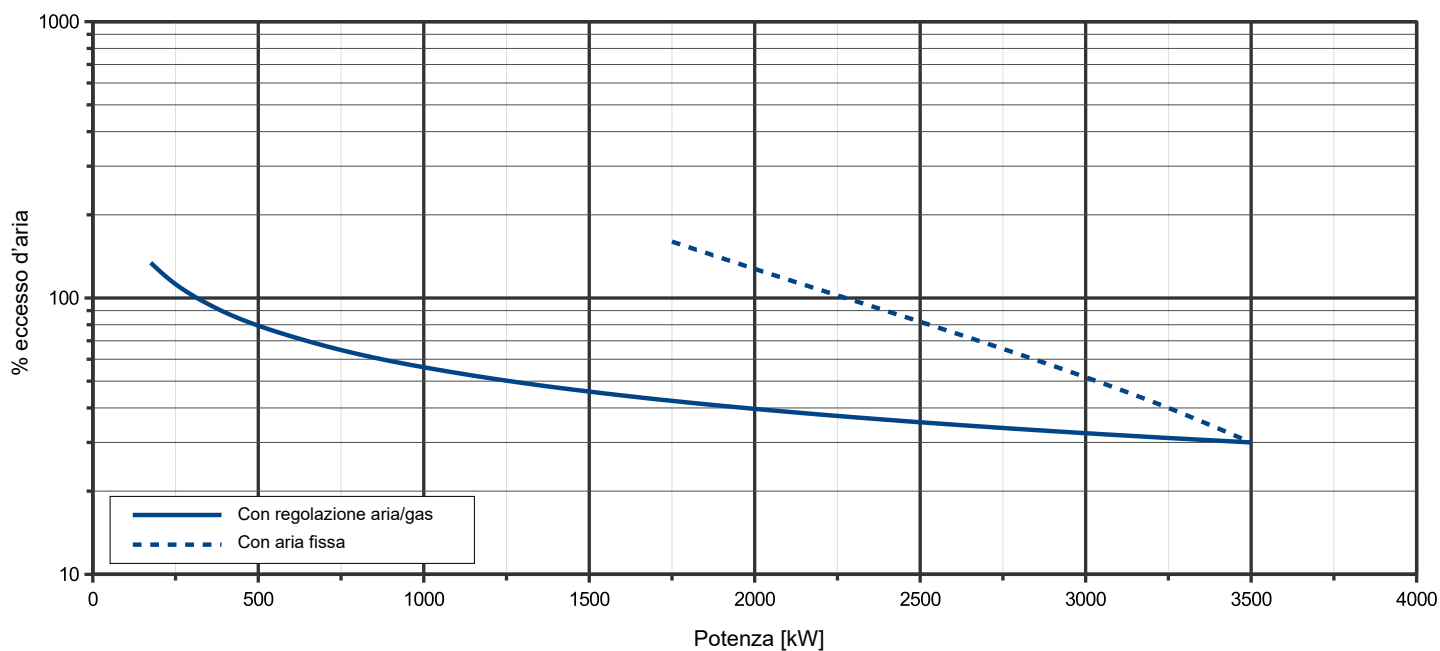
Comburente: aria  
Diafr. comburente: 40%

Cono: Ø330



## CAMPO DI FUNZIONAMENTO

Campo di funzionamento tipico



### SIMBOLOGIA

$Q_F$  Portata combustibile  
 $Q_A$  Portata aria

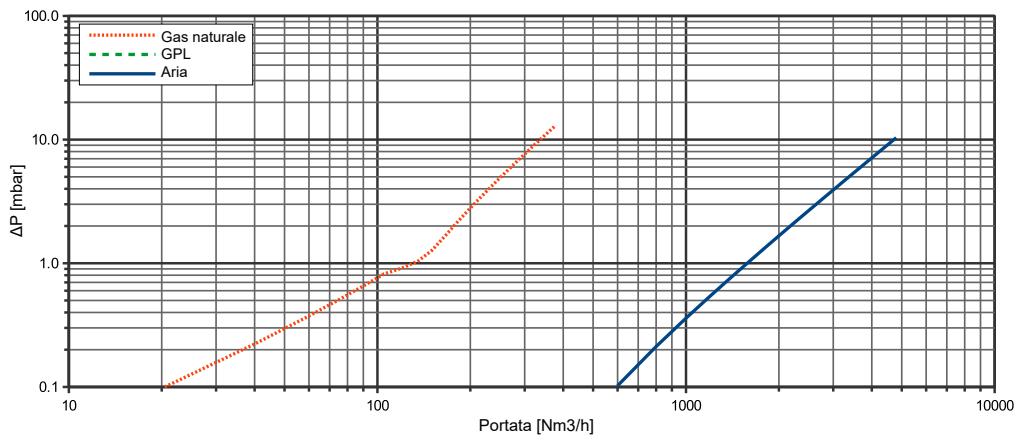
$P_{1,F}$  Pressione combustibile a monte del diaframma  
 $P_{1,A}$  Pressione aria a monte del diaframma  
 $P_{2,F}$  Pressione combustibile a valle del diaframma  
 $P_{2,A}$  Pressione aria a valle del diaframma

$\Delta P_F$  Differenza di pressione combustibile tra le prese 1 e 2  
 $\Delta P_A$  Differenza di pressione aria tra le prese 1 e 2

### CURVE DI PORTATA

$Q_F$ [Nm <sup>3</sup> /h]	FUEL			
	$P_{1,F}$ [mbar]		$\Delta P_F$ [mbar]	
	Natural gas	LPG	Natural gas	LPG
20	0.38		0.10	
40	0.91		0.22	
60	1.61		0.37	
75	2.25		0.51	
90	2.97		0.66	
105	3.78		0.82	
120	4.69		0.91	
135	5.68		1.04	
150	6.77		1.27	
165	7.95		1.64	
180	9.22		2.10	
195	10.58		2.61	
210	12.03		3.18	
225	13.57		3.79	
240	15.21		4.46	
255	16.93		5.18	
270	18.75		5.95	
285	20.65		6.77	
300	22.65		7.64	
315	24.74		8.57	
330	26.92		9.54	
345	29.19		10.57	
360	31.56		11.65	
375	34.01		12.78	

$Q_A$ [Nm <sup>3</sup> /h]	AIR	
	$P_{1,A}$ [mbar]	$\Delta P_A$ [mbar]
600	0.35	0.10
800	0.75	0.21
1000	1.28	0.36
1200	1.96	0.55
1400	2.77	0.77
1600	3.72	1.03
1800	4.81	1.33
2000	6.04	1.67
2200	7.41	2.04
2400	8.92	2.45
2600	10.57	2.90
2800	12.35	3.39
3000	14.28	3.92
3200	16.34	4.48
3400	18.55	5.08
3600	20.89	5.72
3800	23.37	6.40
4000	25.99	7.12
4200	28.75	7.87
4400	31.65	8.66
4500	33.15	9.07
4600	34.68	9.49
4700	36.26	9.92
4800	37.86	10.36



### Pressione statica richiesta

